# 3 Programa Experimental

#### 3.1. Metodologia

O programa experimental consistiu nos ensaios de 15 pilares mistos. As variáveis adotadas foram o comprimento de flambagem, a excentricidade da carga e a taxa de armadura longitudinal. Foi realizada ainda uma série de ensaios de corpos de prova mistos, corpos de prova do perfil eletrossoldado e corpos de prova de concreto, com a finalidade de se obter as curvas tensão-deformação dos materiais.

Neste capítulo é feita a descrição das características geométricas dos corpos de prova e dos pilares, da instrumentação e do procedimento de ensaios. São apresentadas também as curvas tensão-deformação do perfil eletrossoldado do concreto e do concreto confinado.

## 3.2. Curva tensão-deformação dos materiais

#### 3.2.1. Características dos corpos de prova

Os corpos de prova foram construídos com o perfil eletrossoldado – série VE 100 x 6 da USIMINAS. Esse perfil é fabricado por meio de um processo de eletrofusão a alta frequência, resultando em um perfil mais leve, com dimensões e comprimentos variados.



Figura 3.1 – Corpo de prova na prensa (destacado dentro do círculo).

Foram testados 15 corpos de prova, sendo 3 de aço, 6 de concreto e 6 mistos, conforme mostrado na tabela 3.1.

| Nome do CP | Material                 |  |
|------------|--------------------------|--|
| PDA        | Perfil Duplo de Aço      |  |
| PIA1       | Perfil Individual de Aço |  |
| PIA2       | Perfil Individual de Aço |  |
| C1         | Concreto                 |  |
| C2         | Concreto                 |  |
| С3         | Concreto                 |  |
| C4         | Concreto                 |  |
| C5         | Concreto                 |  |
| C6         | Concreto                 |  |

| M1 | Misto |
|----|-------|
| M2 | Misto |
| М3 | Misto |
| M4 | Misto |
| M5 | Misto |
| M6 | Misto |

Tabela 3.1 – Características dos corpos de prova.

O corpo de prova PDA é composto por dois perfis VE 100x6 e o PIA1 e PIA2 são compostos apenas por um perfil.

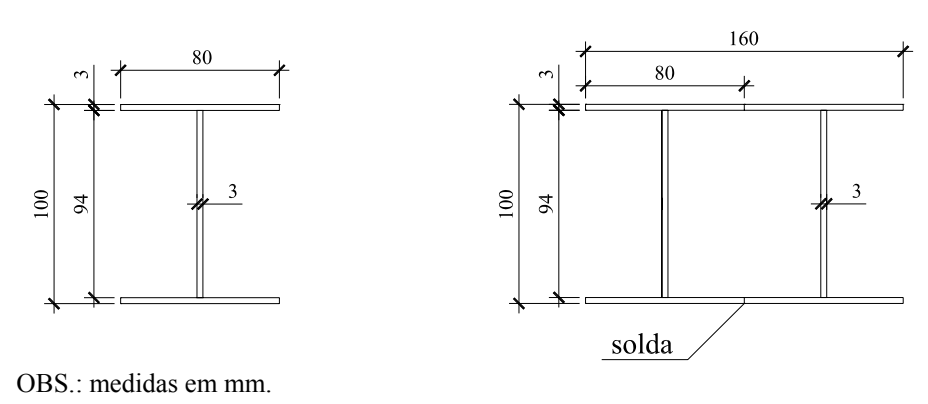


Figura 3.2 – Seção transversal do PIA1 e PIA2. Figura 3.3 – Seção transversal do PDA.

Todos os corpos de prova mistos são idênticos, e têm as seguintes características:

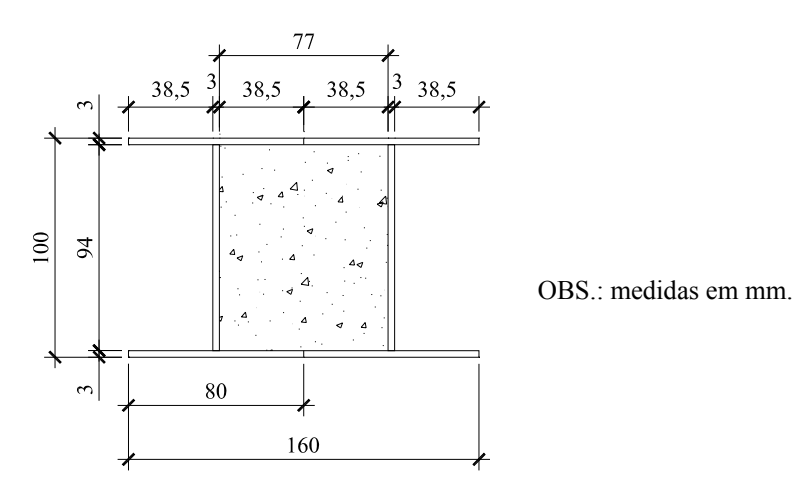


Figura 3.4 – Seção transversal dos corpos de prova mistos.

Os corpos de prova de concreto eram prismáticos, com seção transversal 77 x 94 cm, foram moldados utilizando como fôrma os próprios perfis metálicos mostrados na figura 3.3.

Os corpos de prova de concreto e mistos foram ensaiados com a mesma idade a fim de se obter resultados comparativos.

## 3.2.2. Instrumentação dos corpos de prova

As deformações nos corpos de prova foram medidas com extensômetros elétricos colados nas duas faces laterais opostas dos corpos de prova. A figura 3.5 mostra a localização dos extensômetros em uma dessas faces.

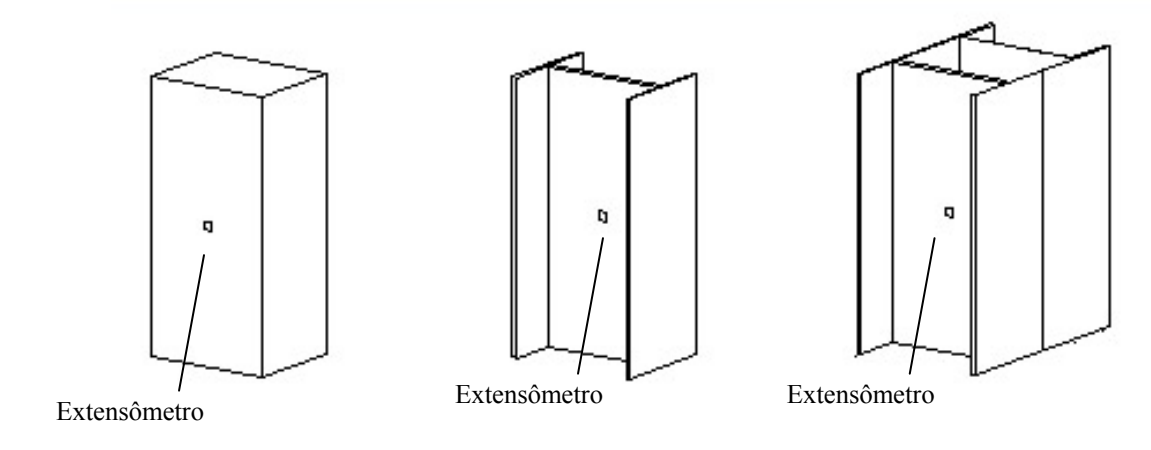


Figura 3.5 – Localização dos extensômetros nos corpos de prova.





Figura 3.6 – Vista lateral e frontal do CP misto na prensa.

## 3.2.3. Ensaios dos corpos de prova

Todos os corpos de prova do perfil eletrossoldado flambaram nos flanges, sob tensões superiores à tensão de escoamento (figuras 3.7 a 3.13). O PDA (corpo de prova formado por dois perfis) não apresentou nenhuma diferença em relação aos outros dois formados por apenas um perfil, tendo em vista que a solda presente apenas em alguns pontos, permite um comportamento quase que individual de cada parte.





Figura 3.7 – Vista superior do PDA.

Figura 3.8 – Vista diagonal do PDA.







Figura 3.10 – Vista frontal do PDA.

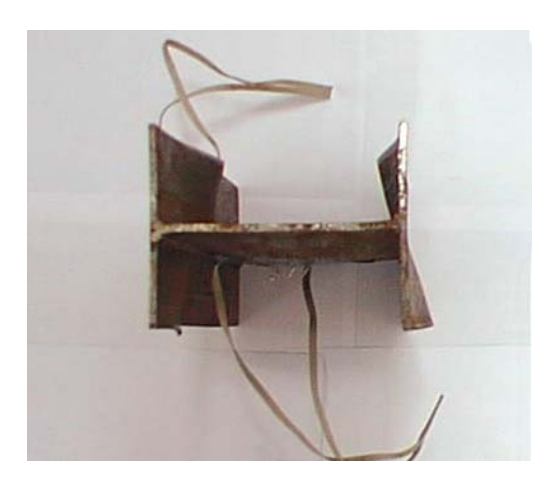


Figura 3.11 - Vista superior do PIA1.



Figura 3.12 – Vista diagonal do PIA1.



Figura 3.13 – Vista frontal do PIA1.

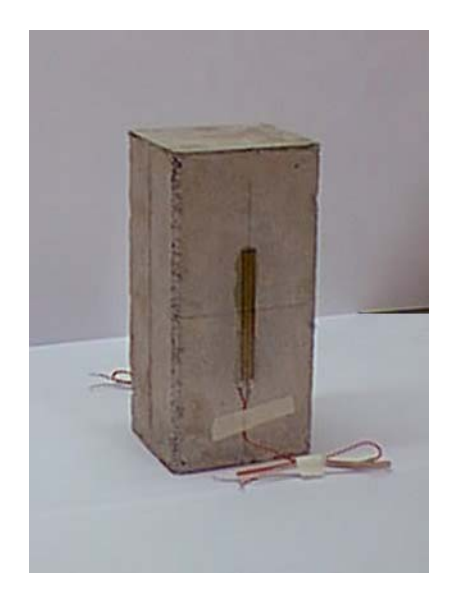


Figura 3.14 – Vista diagonal do C1.

Todos os corpos de prova mistos ensaiados apresentaram primeiramente flambagem lateral nas abas livres e posteriormente no centro onde a união dos dois perfis "I" é feita apenas por alguns pontos de solda, tal como mostrado nas figuras 3.15 a 3.18. A flambagem local ocorreu à meia altura do corpo de prova.



Figura 3.15 – Vista superior do M4.



Figura 3.16 – Vista diagonal do M4.



Figura 3.17 – Vista lateral do M4.

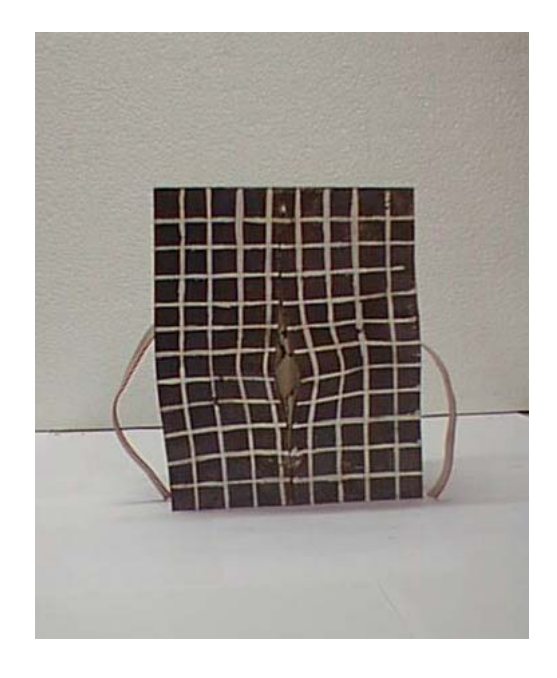


Figura 3.18 – Vista frontal do M4 (as linhas destacam as deformações).

A fim de destacar a deformação dos corpos de prova foi feita uma grade na cor branca, facilitando assim a visualização. Na figura 3.16 foi desenhada uma linha vermelha na face onde estão colados os extensômetros, para destacar a flambagem local.

Na foto 3.18 pode-se ver o início da abertura do M4 devido à flambagem e o concreto fissurado em seu interior.

## 3.2.4. Curvas tensão-deformação do perfil eletrossoldado

As curvas tensão-deformação obtidas nos ensaios de compressão axial dos três corpos de prova do perfil de aço estão mostradas na figura 3.19. Os pontos em cada uma destas curvas representam o valor médio das deformações medidas nas faces opostas dos corpos de prova. A média destas curvas está mostrada na figura 3.20. Observa-se que o material não apresenta um patamar de escoamento definido, tendo uma tensão convencional de escoamento (correspondente à deformação residual de 2 ‰)  $f_y = 335$  MPa e a deformação correspondente  $\varepsilon_y = 3,5$  ‰. Esta curva média será usada adiante para obtenção da curva tensão-deformação do concreto confinado.

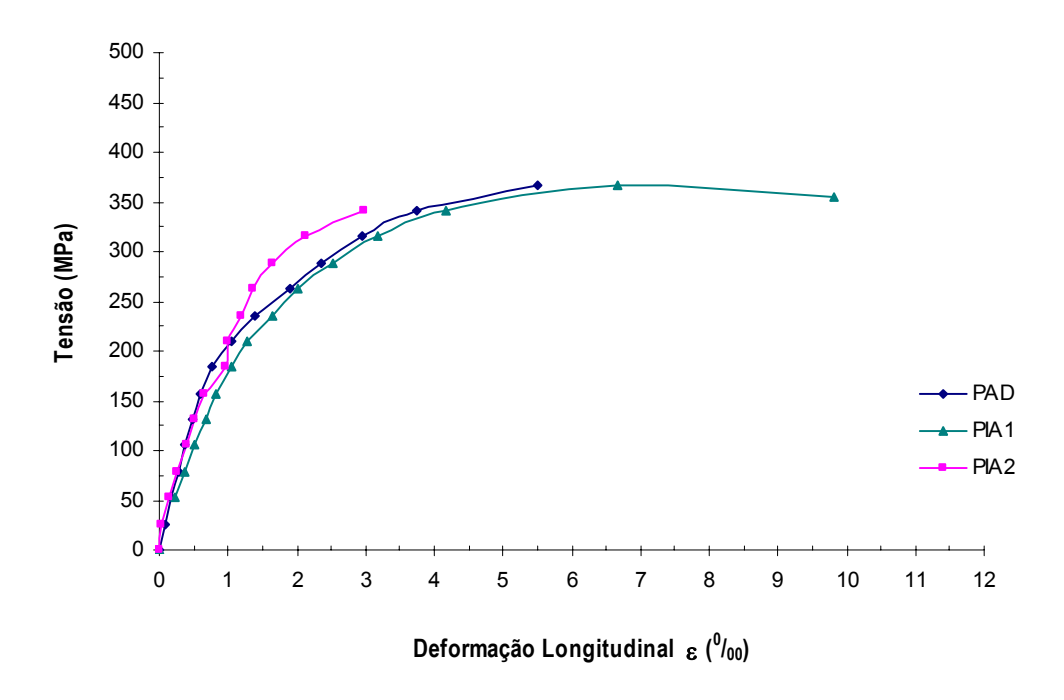


Figura 3.19 – Curva Tensão-Deformação Longitudinal dos corpos de prova do perfil eletrossoldado.

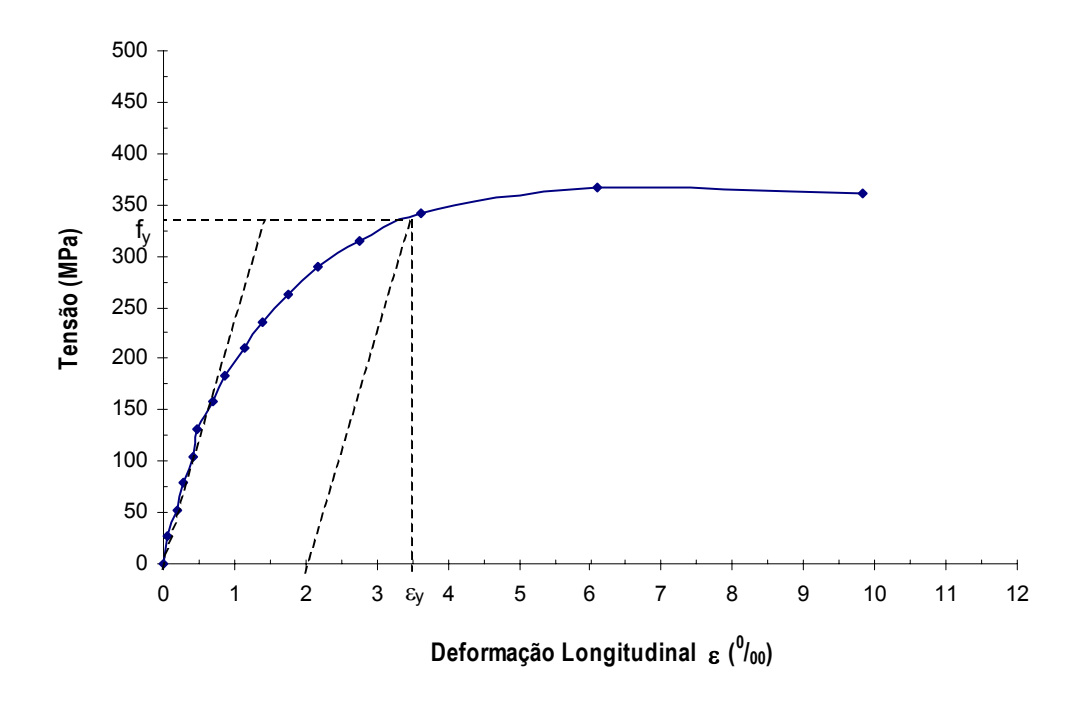


Figura 3.20 – Curva Tensão-Deformação Longitudinal média dos corpos de prova do perfil eletrossoldado.

## 3.2.5. Curvas tensão-deformação do concreto

As curvas carga-deformação dos corpos de prova de concreto estão mostradas na figura 3.21. A média destas curvas é apresentada na figura 3.22.

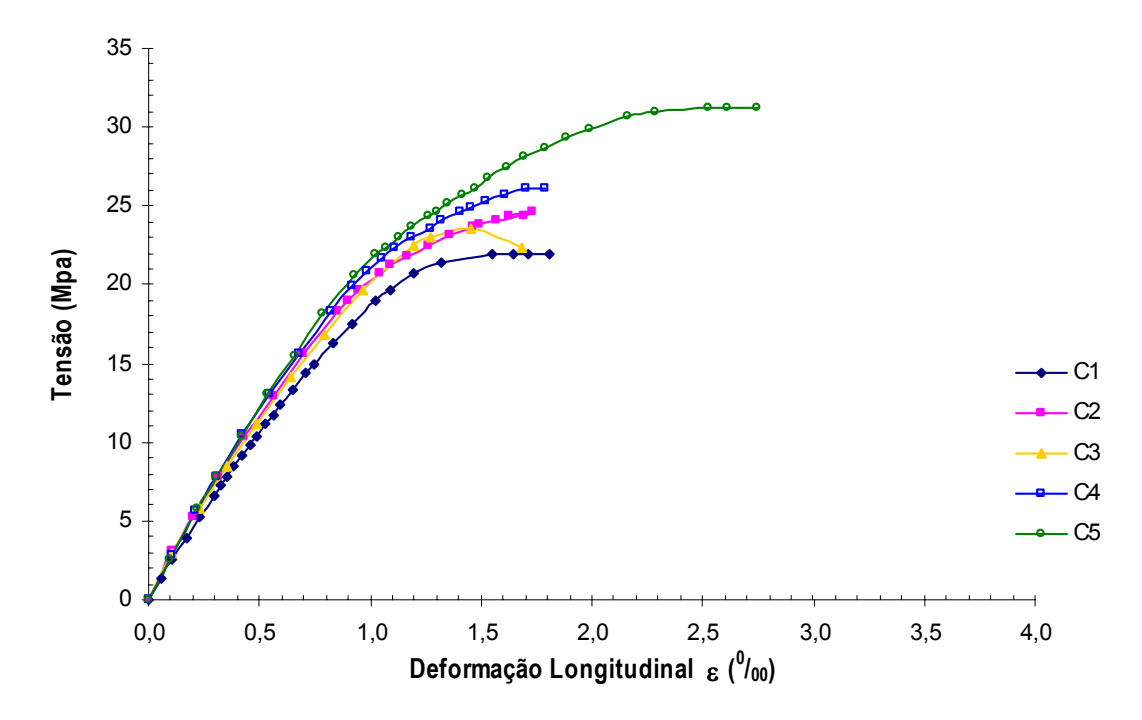


Figura 3.21 – Curva Tensão-Deformação Longitudinal dos corpos de prova de concreto.

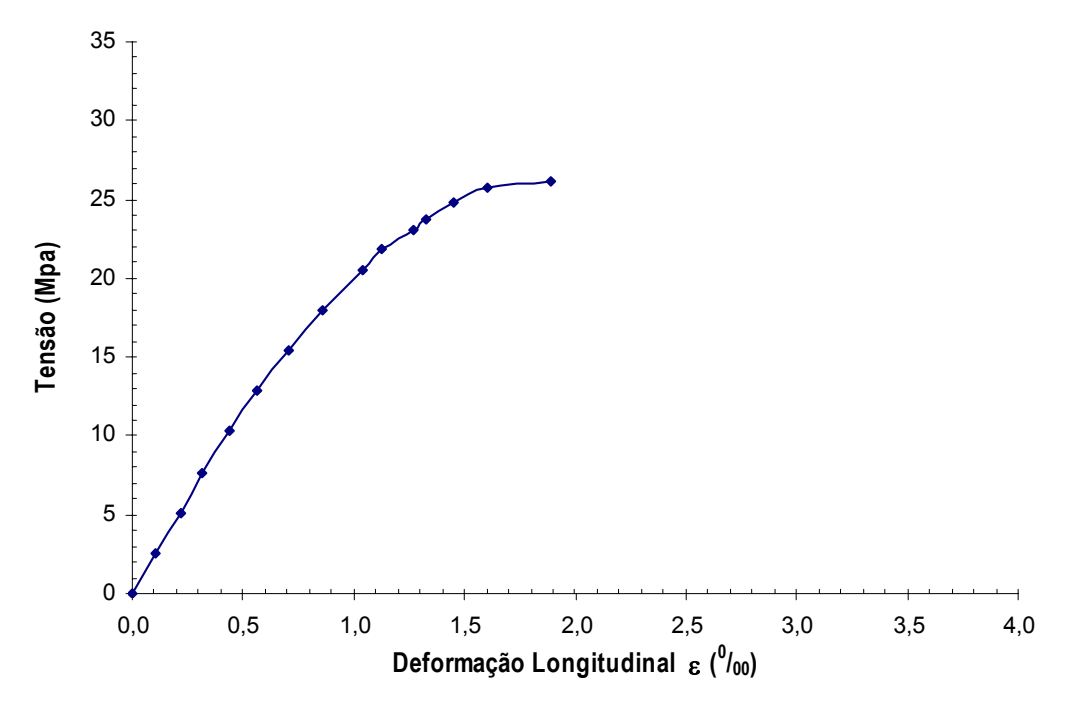


Figura 3.22 – Curva Tensão-Deformação Longitudinal média dos corpos de prova de concreto.

## 3.2.6. Curvas carga-deformação dos corpos de prova mistos

As curvas carga-deformação dos corpos de prova mistos estão mostradas na figura 3.23. A média destas curvas é apresentada na figura 3.24.

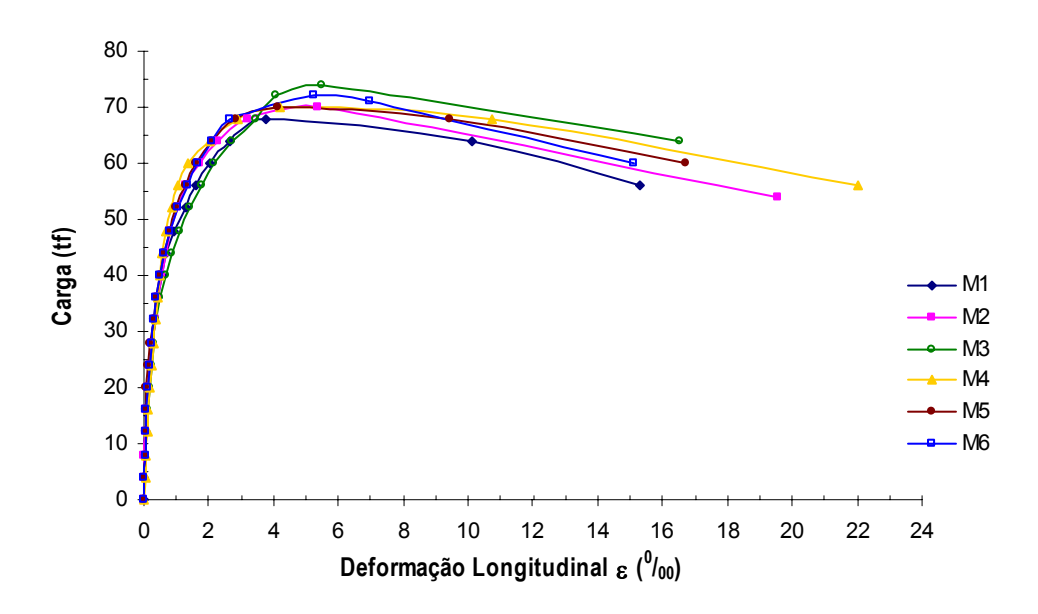


Figura 3.23 – Curva Carga-Deformação Longitudinal dos corpos de prova mistos.

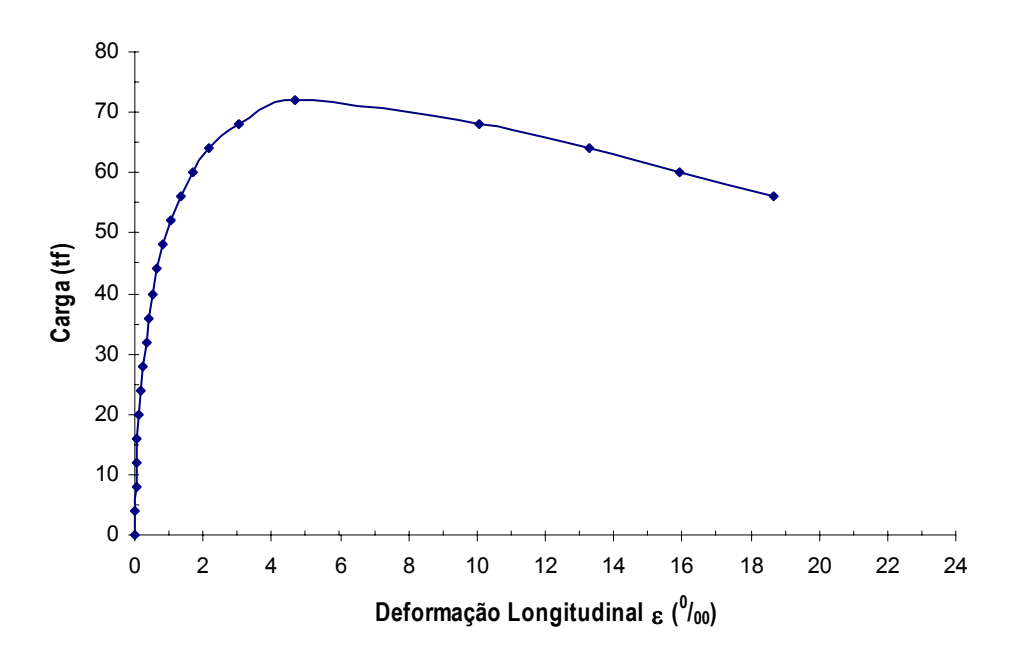


Figura 3.24 – Curva Carga-Deformação Longitudinal média dos corpos de prova mistos.

Para efeito de comparação, na figura 3.25 estão apresentadas juntas as curvas carga-deformação dos três materiais.

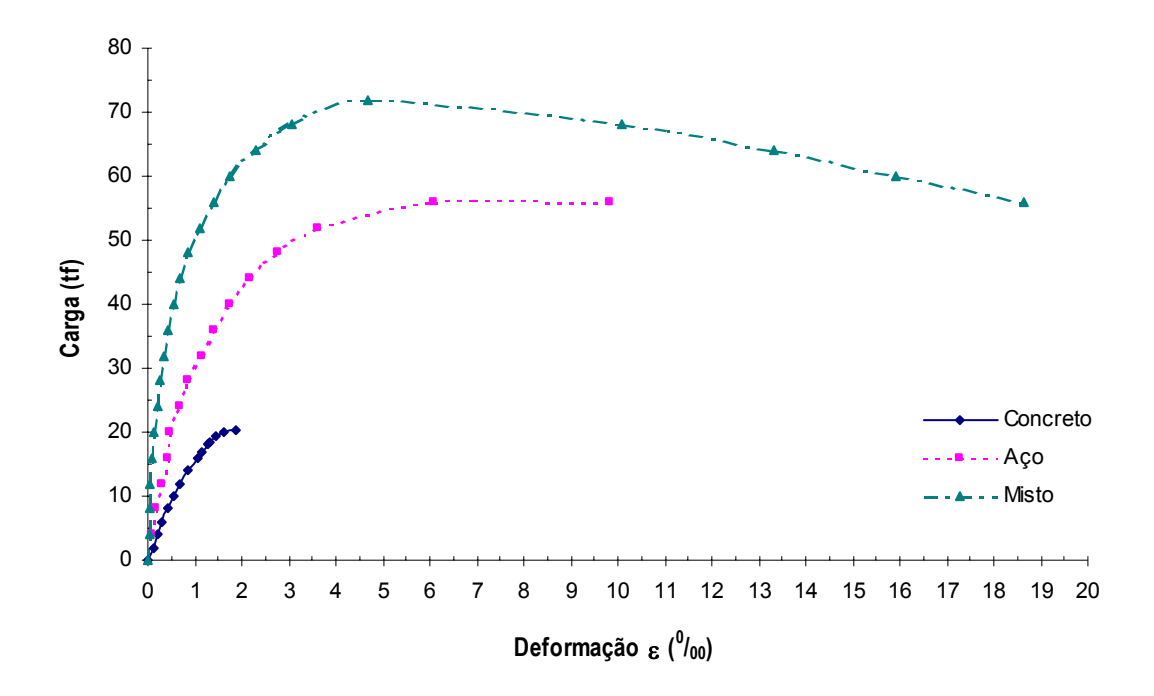


Figura 3.25 – Curva Carga-Deformação Longitudinal Média dos corpos de prova de concreto, aço e misto.

A figura 3.26 mostra as curvas tensão-deformação do concreto confinado e não confinado. O confinamento causou um pequeno ganho de resistência, a tensão máxima para o concreto confinado foi de 28,49 MPa e para o concreto sem confinamento foi de 25,6 MPa. Os métodos de cálculo não consideram este acréscimo, ficando a favor da segurança, conforme visto no item 2.7. Esta figura mostra ainda que ocorre um aumento no módulo de elasticidade e na ductilidade do concreto confinado.

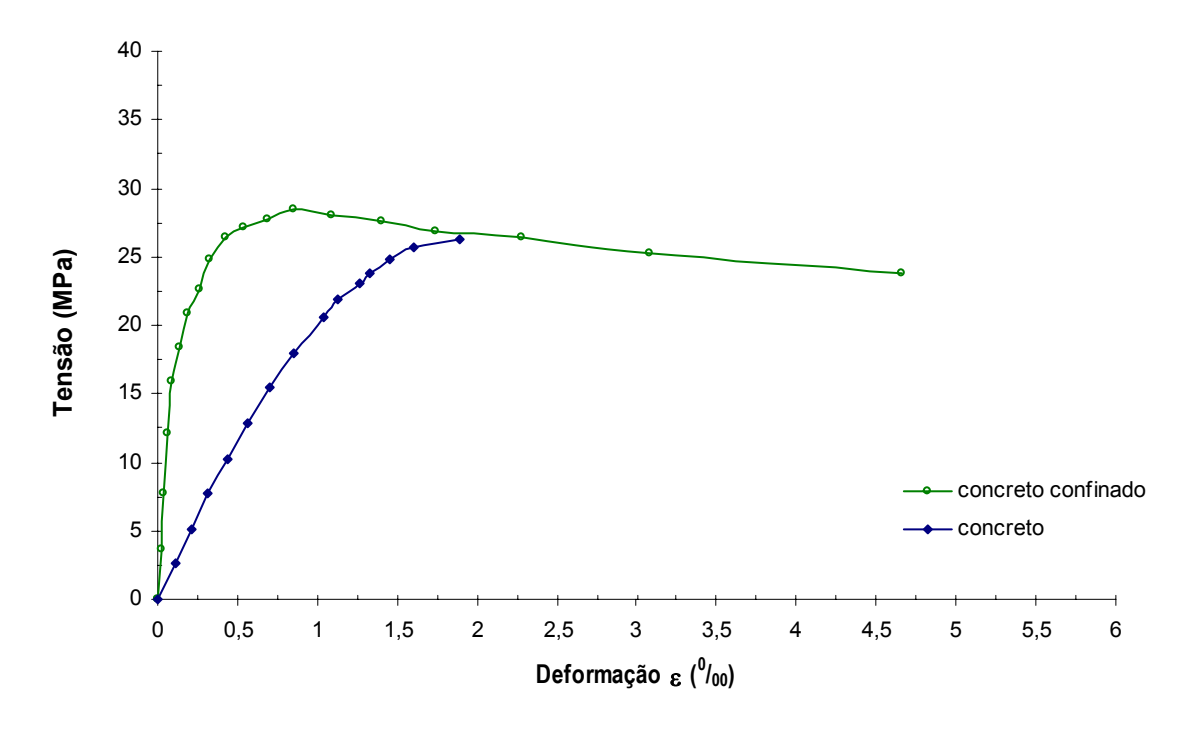


Figura 3.26 – Curva Tensão-Deformação do Concreto Confinado e Não-confinado.

A curva tensão-deformação do concreto confinado foi obtida a partir das curvas obtidas nos ensaios dos corpos de prova mistos e de aço, utilizando a equação 3.1.

$$\sigma_{cc} = \frac{P_M - A_a \sigma_a}{A_{cc}}$$
 Eq. 3.1

onde,

 $\sigma_{cc}$  – tensão no concreto confinado;

P<sub>M</sub> – carga no corpo de prova misto;

A<sub>cc</sub> – área do concreto confinado;

A<sub>a</sub> – área de aço;

 $\sigma_a$  — tensão no aço.

Considerando que a deformação nos três materiais é a mesma, obtém-se o valor da tensão no aço  $\sigma_a$  na curva da figura 3.20 para a mesma deformação referente à carga no corpo de prova misto.

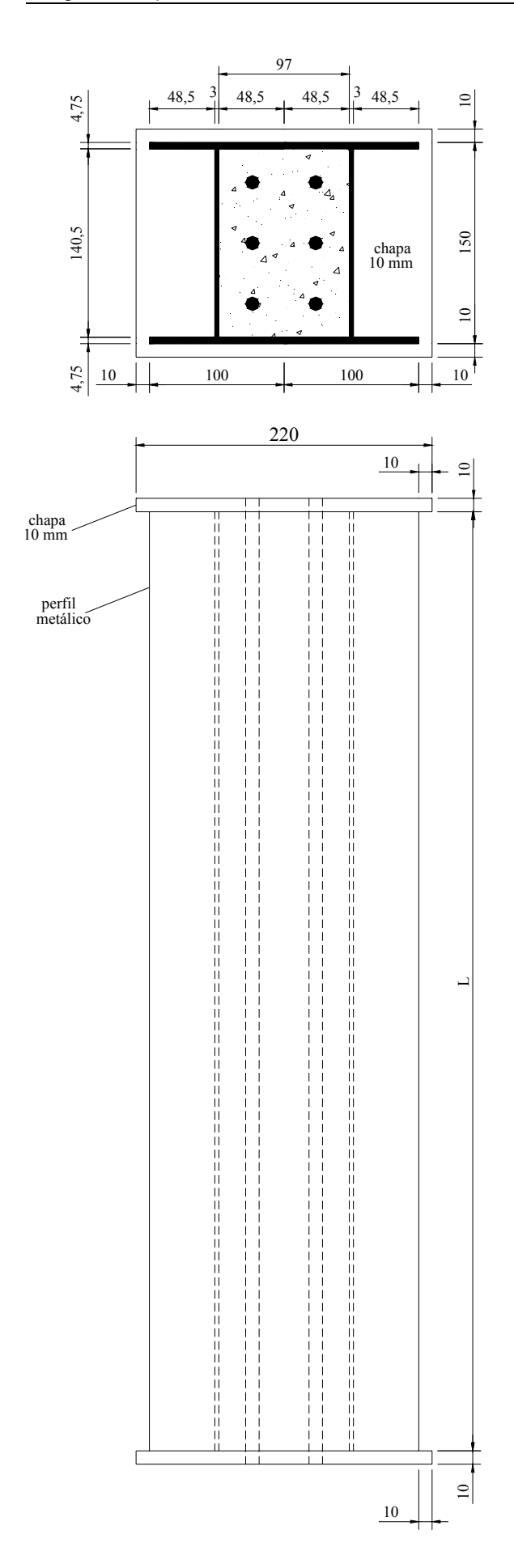
## 3.3. Pilares mistos

#### 3.3.1.

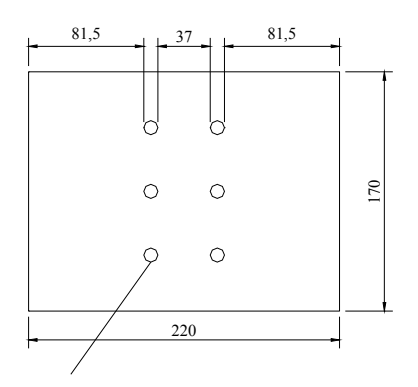
# Características dos pilares mistos

Os pilares foram construídos com dois perfis eletrossoldados – série VE 150 x 11 da USIMINAS, cujas características geométricas são dadas na figura 3.27 e na tabela 3.2.

Todos os pilares tinham seção transversal com as mesmas dimensões, com área de aço (perfil) igual a 27,43 cm<sup>2</sup> e área de concreto igual a 136,3 cm<sup>2</sup>.

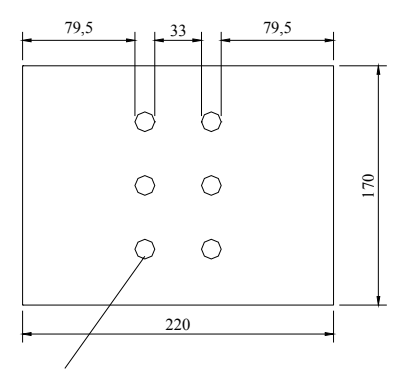


Chapa de 10mm para  $As = 6 \phi 8.0$ 



furos para os vergalhões da armadura longitudinal

Chapa de 10mm para As =  $6 \phi 10.0$ 



furos para os vergalhões da armadura longitudinal

OBS.: medidas em mm.

Figura 3.27 – Detalhamento dos pilares.

O topo e a base dos pilares com argamassa de cimento e areia (traço 1:1), regularizada com uma placa de vidro. Após o endurecimento deste capeamento, foram soldadas chapas de aço (10mm de espessura) ao perfil eletrossoldado. Estas chapas estavam em contato direto com o concreto do núcleo e com o perfil, garantindo assim que a carga aplicada fosse transferida corretamente para os dois materiais.

### 3.3.2. Armadura dos pilares e excentricidade da carga

A NBR14323 [6] limita a área máxima da armadura longitudinal em 4% da área da seção transversal de concreto. Portanto, as armaduras foram escolhidas de modo a se obter valores da taxa de armadura próximo ao limite máximo e próximo a um valor intermediário.

As taxas de armaduras ( $\rho$ ) escolhidas foram  $\rho$  = 3,5 % (6 vergalhões de 10 mm de diâmetro),  $\rho$  = 2,2 % (6 vergalhões de 8 mm de diâmetro) e  $\rho$  = 0 %.

Os ensaios foram realizados com excentricidades de carga tais que alguns pilares estivessem sujeitos à flexo-compressão com pequena excentricidade (toda seção comprimida) e outros à flexo-compressão com grande excentricidade (parte da seção comprimida e parte tracionada). Os valores das excentricidades foram 2,5 cm e 5,0 cm.

As excentricidades da carga e as armaduras dos pilares estão descritas na tabela 3.2.

| Nome do Pilar | Comprimento<br>L (m) | Armadura<br>Longitudinal | Excentricidade<br>da carga<br>(cm) |
|---------------|----------------------|--------------------------|------------------------------------|
| L450-E0       | 4.5                  | 6 ф 10.0                 | 0                                  |
| L450-E2.5     | 4.5                  | 6 ф 10.0                 | 2,5                                |
| L450-E5       | 4.5                  | 6 ф 10.0                 | 5,0                                |
| L300-E0-A0    | 3                    | -                        | 0                                  |
| L300-E2.5-A0  | 3                    | -                        | 2,5                                |
| L300-E5-A0    | 3                    | -                        | 5,0                                |

| L300-E0-A8    | 3   | 6 φ 8.0  | 0   |
|---------------|-----|----------|-----|
| L300-E2.5-A8  | 3   | 6 φ 8.0  | 2,5 |
| L300-E5-A8    | 3   | 6 φ 8.0  | 5,0 |
| L300-E0-A10   | 3   | 6 ф 10.0 | 0   |
| L300-E2.5-A10 | 3   | 6 ф 10.0 | 2,5 |
| L300-E5-A10   | 3   | 6 ф 10.0 | 5,0 |
| L150-E0       | 1.5 | 6 ф 10.0 | 0   |
| L150-E2.5     | 1.5 | 6 ф 10.0 | 2,5 |
| L150-E5       | 1.5 | 6 ф 10.0 | 5,0 |

Tabela 3.2 – Características dos pilares ensaiados.

#### 3.3.3. Concreto dos pilares

No início dos ensaios os pilares já tinham mais de 6 meses de idade e portanto a resistência do concreto não variou significativamente do primeiro ao último dia de ensaio. A tabela 3.3 apresenta os resultados das resistências de cada corpo de prova do concreto usado nos pilares. Foram empregados corpos de prova cilíndricos com dimensões 15 x 30 cm.

|             | Nº CPs | fc                   | fc <sub>méd</sub> |
|-------------|--------|----------------------|-------------------|
| Betonada 1  | 1      | 43,6                 |                   |
|             | 2      | 41,6                 | 1                 |
|             | 3      | 40,5                 | 43,3              |
| ) sto       | 4      | 41,0                 |                   |
| Be          | 5      | 49,6                 |                   |
| 2           | 1      | 47,5                 |                   |
| Bet. 2      | 2      | 47,5                 | 47,2              |
| ä           | 3      | 46,6                 |                   |
|             | 1      | 38,7                 |                   |
| С           | 2      | 46,7                 |                   |
| ad          | 3      | 40,1                 | 42,0              |
| l oi        | 4      | 41,2                 | 42,0              |
| Betonada 3  | 5      | 41,2                 |                   |
| _           | 6      | 43,9                 |                   |
|             | 1      | 41,0                 |                   |
| . t         | 3      | 42,6                 | 45,0              |
| Bet. 4      | 3      | 40,9                 | 45,0              |
|             | 4      | 55,5                 |                   |
|             | 1      | 40,6                 |                   |
|             | 2      | 47,3                 |                   |
| 2           | 3      | 47,3<br>52,3<br>46,2 |                   |
| gg          | 4      | 52,3                 |                   |
| ) ne        | 5      | 46,2                 | 47,8              |
| Betonada 5  | 6      | 49,5                 |                   |
| _           | 7      | 48,2                 |                   |
|             | 8      | 50,9                 |                   |
|             | 9      | 47,8                 |                   |
|             | 1      | 40,0                 |                   |
| ဖ           | 2      | 49,8                 | 47,1              |
| a           | 3      | 48,1                 |                   |
| Betonada 6  | 4      | 43,5                 |                   |
|             | 5      | 51,2                 |                   |
|             | 6      | 44,6                 |                   |
|             | 7      | 49,6                 |                   |
|             | 8      | 50,03                |                   |
| Média Total |        |                      | 45,4              |

Tabela 3.3 – Resistência do concreto dos pilares.

Para análise dos resultados foi considerado o valor médio da resistência igual a 45 MPa.

# 3.3.4. Instrumentação dos pilares

Nos pilares de quatro metros e meio e nos de três metros foram utilizados seis LVDTs, sendo cinco distribuídos ao longo do pilar no plano onde ocorreu a flambagem e apenas um LVDT no outro plano a fim de monitorar algum

deslocamento devido a possíveis imperfeições do próprio pilar ou da aplicação da carga. Nos pilares de um metro e meio foram utilizados apenas três LVDTs no plano de flambagem e um no outro plano.

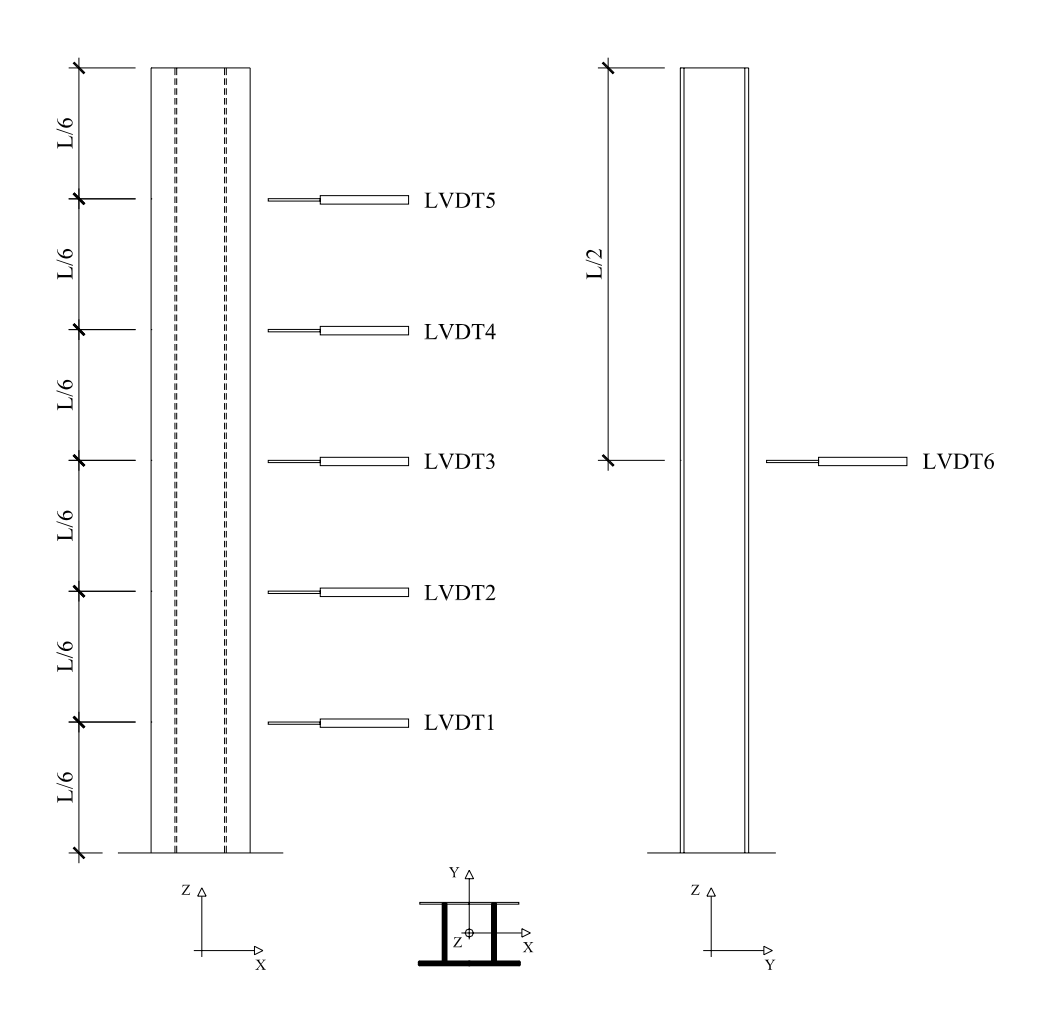


Figura 3.28 – Localização dos LVDTs nos pilares.

No primeiro pilar ensaiado, o L450-E0, os extensômetros foram colocados em três seções ao longo do pilar conforme a figura 3.29. Na seção no meio do vão (seção B) foram colocados 10 (dez) extensômetros e nas seções localizadas a L/4 (seções A e C) foram colocados 2 (dois) extensômetros em cada, figura 3.30.

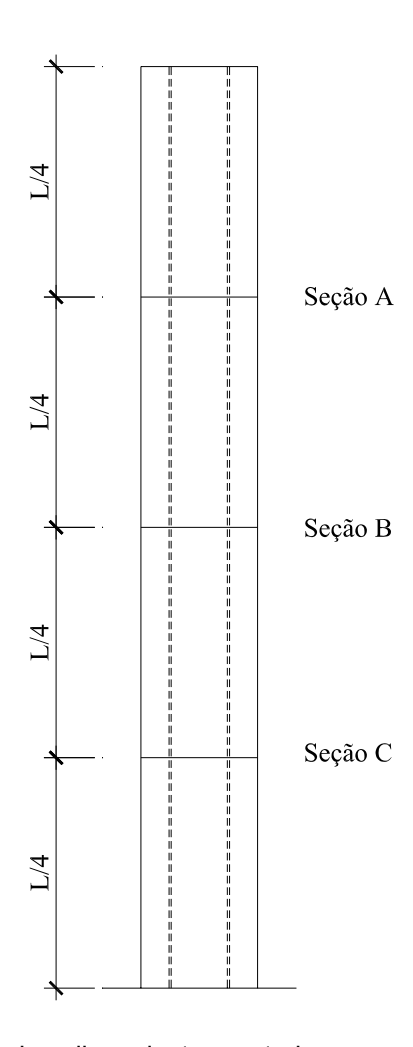


Figura 3.29 – Seções dos pilares instrumentadas com extensômetros.

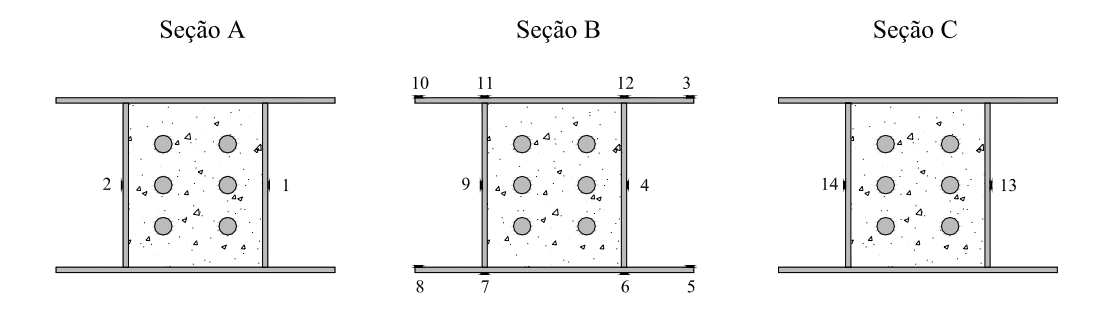


Figura 3.30 – Numeração dos extensômetros no pilar L450-E0.

Nos pilares L450-E2.5 e L450-E5, foram colocados 6 extensômetros na seção no meio do vão (seção B) e 2 extensômetros nas seções localizadas a L/4 (seções A e C), conforme a figura 3.31.

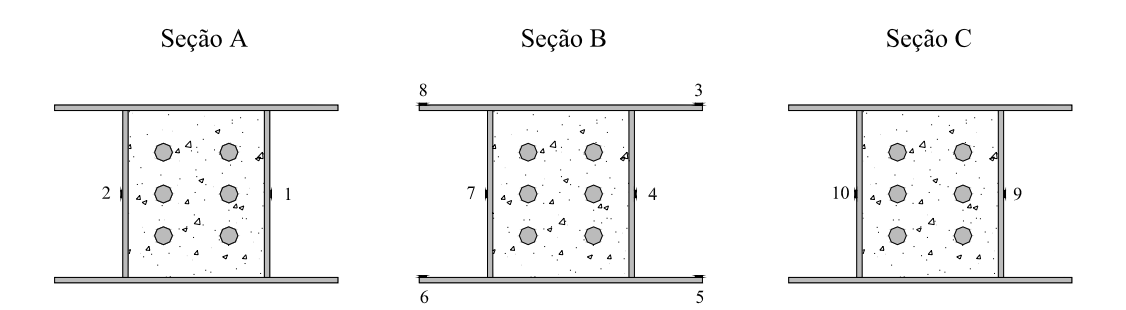


Figura 3.31 – Numeração dos extensômetros nos pilares L450-E2.5 e L450-E5.

Nos pilares de três metros e nos de um metro e meio, apenas a seção do meio foi instrumentada com seis extensômetros (figura 3.32).

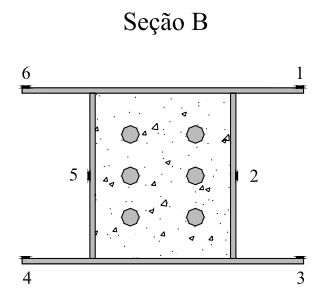


Figura 3.32 – Numeração dos extensômetros nos pilares de um metro e meio e nos de três metros e de altura.

### 3.3.5. Procedimento dos ensaios dos pilares

Os pilares foram ensaiados com as extremidades rotuladas, a fim de permitir flexão com curvatura simples.

Na base foram usados placas e roletes conforme o esquema da figura 3.33, ilustrado nas figura 3.34 a 3.36.

Para fixar o topo do pilar foi colocado um quadro metálico em torno da cabeça do pilar. O quadro foi fixado ao pórtico de reação através de barras rosqueadas garantindo sustentação ao pilar. O sistema foi executado de forma que o quadro pudesse acompanhar a rotação da cabeça do pilar durante o ensaio.

As figuras 3.37 e 3.38 mostram o desenho do mecanismo do quadro colocado na cabeça do pilar.

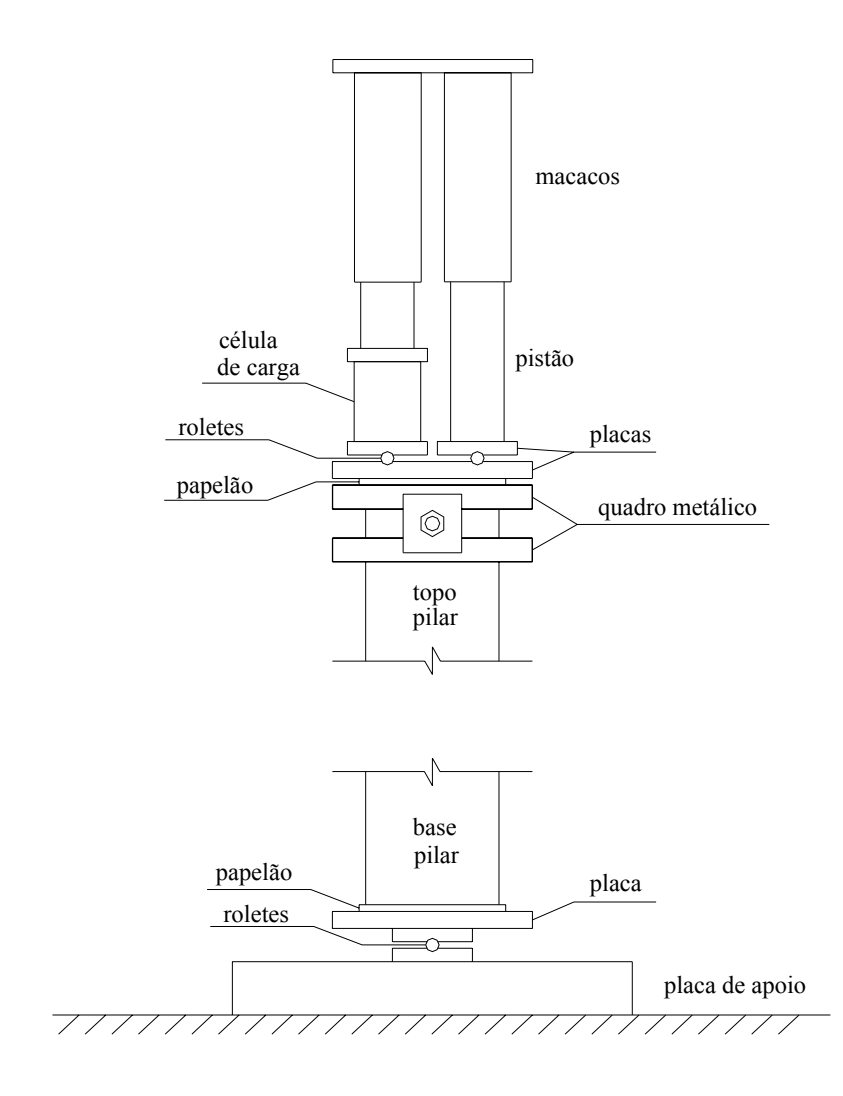


Figura 3.33 – Esquema das rótulas na base e no topo do pilar.

Nos ensaios dos pilares de 4,5 e de 3,0 metros foram utilizados quatro macacos e uma célula de carga de capacidade de 50 toneladas entre um deles e a placa de apoio, conforme a figura 3.34. Para os ensaios dos pilares de 1,5 metros foram utilizados dois macacos e uma célula de carga de 100 toneladas entre um deles e a placa de apoio (figura 3.35).



Figura 3.34 – Rótula no topo do pilar com quatro macacos.

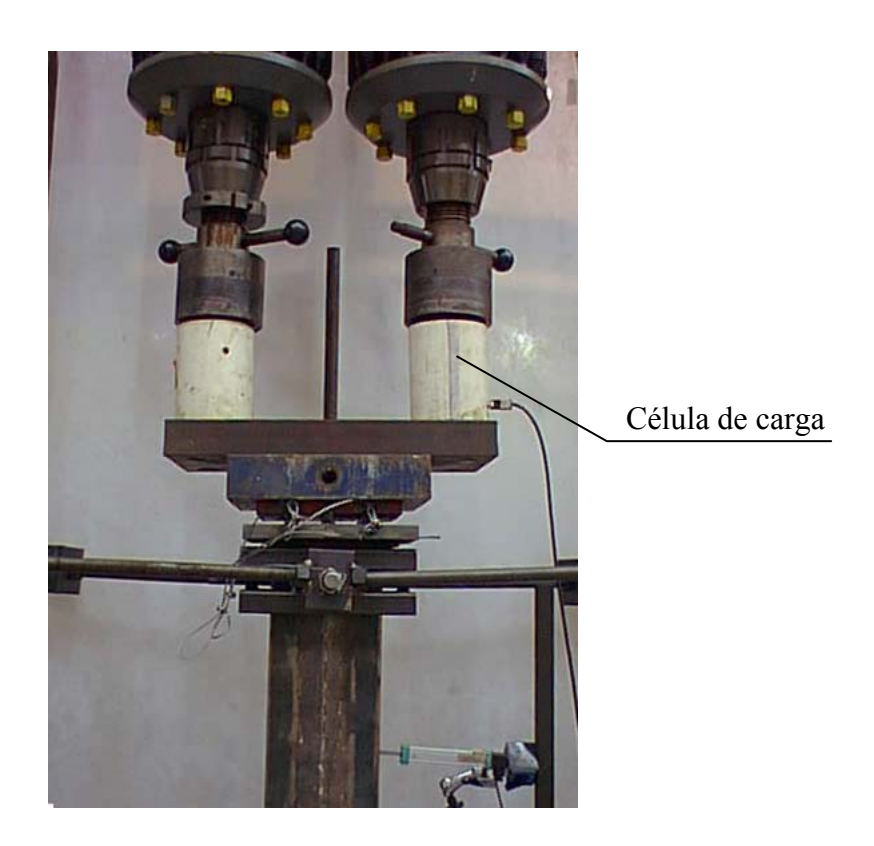


Figura 3.35 – Rótula no topo do pilar com dois macacos.

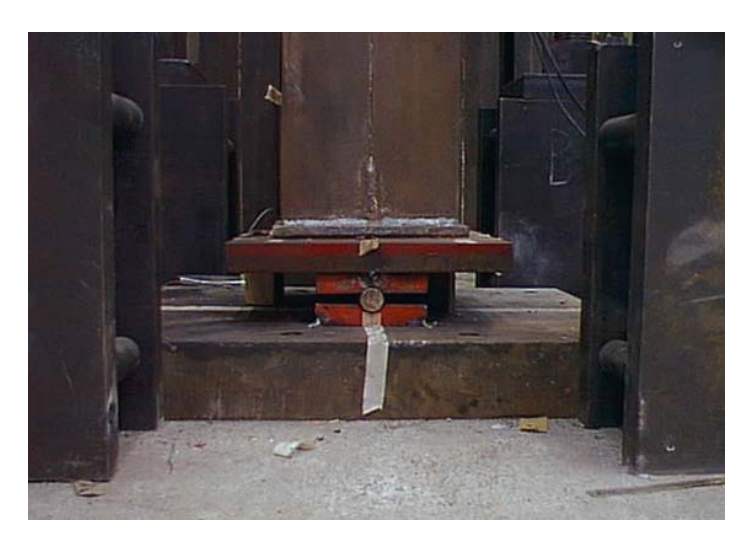


Figura 3.36 – Rótula na base do pilar.

Entre o pilar e as placas de apoio, tanto na base quanto no topo, foram colocados papelões (forro pacote, 1 cm de espessura) para acomodar quaisquer irregularidades.

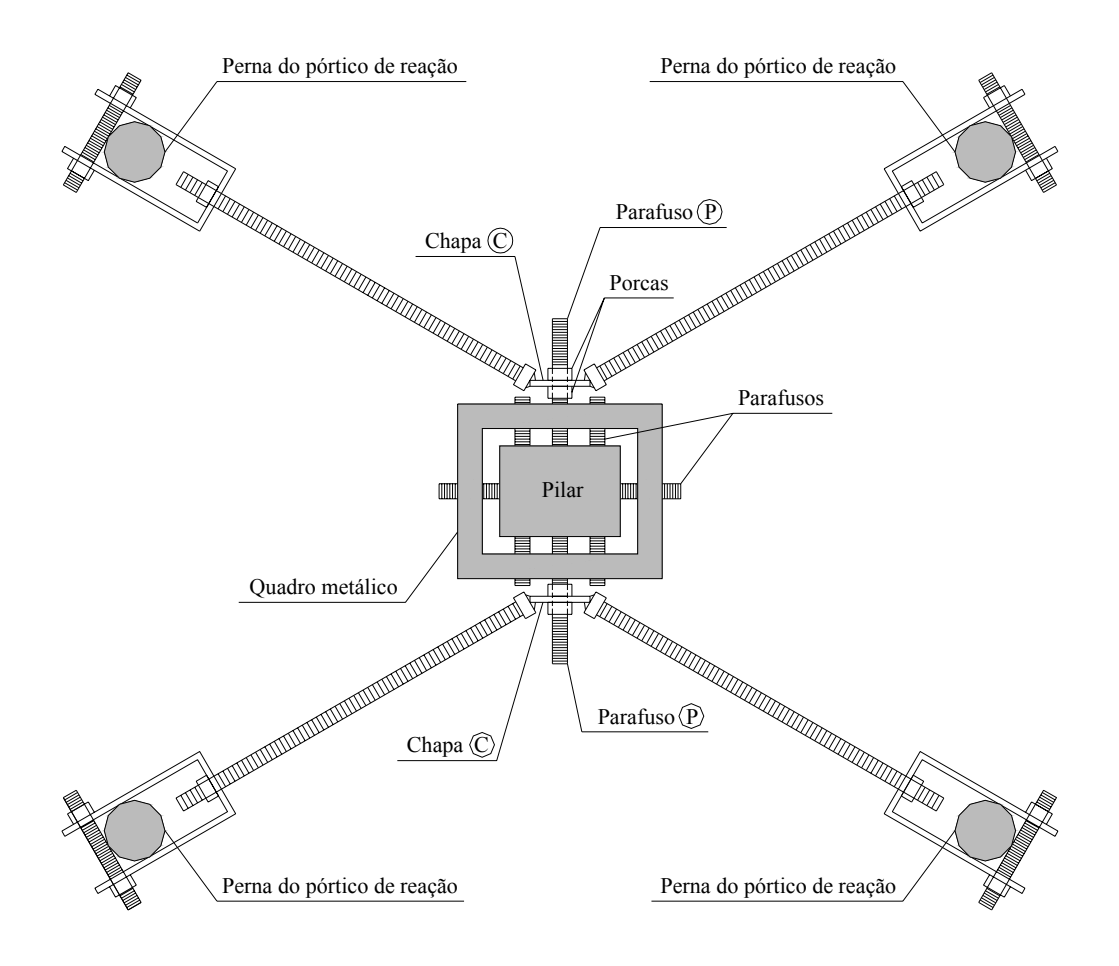


Figura 3.37 – Vista em planta do suporte do topo do pilar.

A rotação dos parafusos "P" é permitida em relação às chapas "C" identificados na figura 3.37.

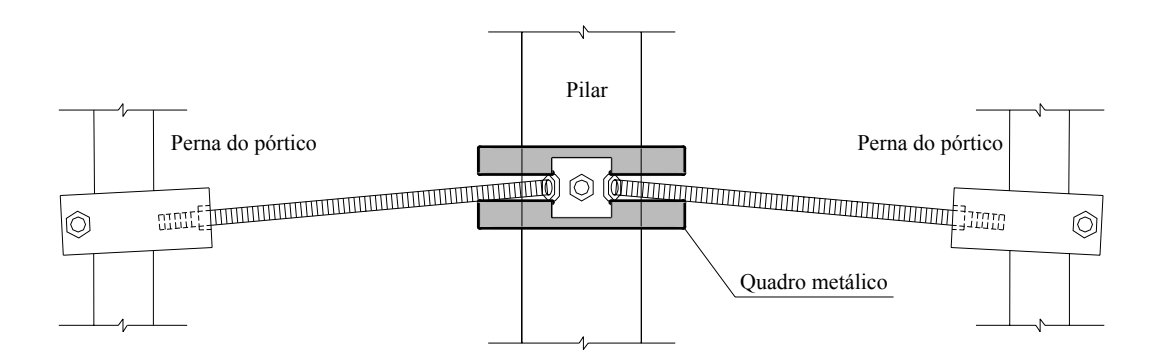


Figura 3.38 – Vista frontal do suporte do topo do pilar.

O ajuste da posição exata do pilar era facilmente executado com o auxílio dos parafusos que ligavam o quadro metálico ao pilar e ao pórtico.